

## МОДЕЛЬ ЗАГЛУБЛЕНИЯ ВЕРХНЕГО ОДНОРОДНОГО СЛОЯ В СТРАТИФИЦИРОВАННОЙ ЖИДКОСТИ

*B. Ю. Ляпидевский*

*(Новосибирск)*

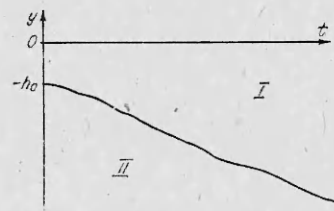
В работе изучается интегральная модель заглубления однородного слоя жидкости под действием касательного напряжения, приложенного к поверхности. Уравнения сохранения массы, импульса, энергии замыкаются законом вовлечения покоящейся жидкости в верхний однородный слой. Основная особенность рассматриваемой модели — учет неоднородности поля скорости, обусловленной наличием «свободных» вихрей в потоке.

Выделяются два режима заглубления: докритический, при котором вовлечение происходит за счет внешней турбулизации однородного слоя, и сверхкритический, в котором турбулентность с поверхности переносится крупными вихрями, порожденными неустойчивостью течения со сдвигом скорости. Показано, что для двухслойного начального распределения плотности, а также в случае непрерывного распределения плотности по степенному закону существуют особые решения системы уравнений, соответствующие сверхкритическому режиму заглубления и определяющие асимптотику на больших временах. Эти решения характеризуются постоянством глобального числа Ричардсона  $Ri_u$ , вычисленного по средним плавучести и скорости верхнего слоя. Таким образом, гипотеза  $Ri_u = \text{const}$ , используемая во многих моделях [1] для замыкания уравнения импульса, в рамках представленной модели справедлива асимптотически. Учет бокового трения при течении в канале конечной ширины разрушает асимптотику заглубления и переводит решение в докритический режим. Сравнение с результатами экспериментов в круговых лотках показывает, что предложенная модель удовлетворительно описывает сверхкритическое заглубление как в случае двухслойного [2], так и непрерывного начального распределения плотности [3].

Описание процесса перемешивания в течении устойчиво стратифицированной жидкости — сложная и актуальная задача. Перенос импульса и тепла с поверхности в глубь океана определяет формирование и эволюцию верхнего термоклина. Механизм переноса связан с развитием неустойчивости в течениях со сдвигом скорости и турбулентным обменом между слоями разной плотности. Адекватное математическое описание процессов, ответственных за формирование и структуру верхнего слоя океана, возможно только с привлечением моделей турбулентности [4]. Тем не менее для определенного класса течений могут быть использованы простые интегральные модели, отражающие эволюцию средних величин, полностью характеризующих данный класс течений.

В экспериментах и натурных наблюдениях отмечено, что под воздействием напряжения, приложенного к поверхности покоящейся стратифицированной жидкости, развивается хорошо перемешанный слой с почти постоянной скоростью и плотностью и отделенный от покоящейся невозмущенной жидкости достаточно тонким переходным слоем с большими градиентами. В идеализированной постановке можно считать, что однородный по горизонтали слой с плотностью  $\rho(t)$ , единственной отличной от нуля горизонтальной компонентой скорости  $u(t)$ , интенсивностью мелкомасштабных движений  $q(t)$  имеет глубину  $h(t)$  (рис. 1, область I). Ниже линии  $y = -h(t)$  расположена покоящаяся стратифицированная жидкость ( $u^0 = 0$ ,  $q^0 = 0$ ,  $\rho = \rho^0(y)$ ,  $d\rho^0/dy < 0$ , область II). К поверхности слоя ( $y = 0$ ) приложено заданное напряжение  $\tau = \tau^*(t)$ . Поток массы через поверхность отсутствует. Рассматриваемое течение моделирует процесс заглубления однородного турбулизованного слоя под действием поверхностного напряжения (ветра).

Интегральные модели с успехом применялись многими авторами для описания динамики верхнего слоя океана [5, 6]. Этот подход помимо простоты привлекателен еще и тем, что при выводе уравнений динамики однородного слоя можно обойтись без гипотез замыкания, являющихся основной частью



*Рис. 1.*

моделей турбулентного перемешивания. Однако для замыкания уравнений массы, импульса и энергии необходимо задать закон вовлечения покоящейся жидкости в однородный слой.

В океанологии и метеорологии получил широкое распространение закон перемешивания

$$(1) \quad dh/dt = Bu^*/Ri,$$

где  $Ri = (\rho^0(-h) - \rho)gh/\rho_0\tau^*$ ;  $u^* = \sqrt{\tau^*}$  — скорость трения;  $g$  — ускорение силы тяжести;  $\rho_0$  — начальная плотность жидкости на поверхности. Зависимость (1) основана на результатах лабораторных экспериментов в круговом лотке с линейной начальной стратификацией ( $B \approx 2,5$ ) [3], а также аналогичных экспериментов [2] для двухслойной стратификации. Последующий анализ экспериментов в круговом лотке показал [1], что хорошие результаты дает замыкание уравнений соотношением

$$(2) \quad Ri_u = (\rho^0(-h) - \rho)gh/\rho_0u^2 = \text{const}.$$

Здесь  $Ri_u$  — глобальное число Ричардсона, вычисленное по средней плавучести и скорости верхнего слоя. Зависимость (2) приводит к закону заглубления, отличному от (1),

$$(3) \quad dh/dt = n Ri_u^{1/2} Ri^{-1/2} u^*$$

с  $n = 1$  для двухслойной стратификации и  $n = 1/2$  для линейной стратификации. В [1] принималось  $Ri_u \approx 0,6$ . Однако в экспериментах [7], выполненных в круговом лотке, показано, что зависимость (2) во всем диапазоне полученных экспериментальных данных не выполняется и  $Ri_u$  может стать существенно больше единицы.

Предлагаемая ниже модель основана на законах сохранения массы, импульса и энергии потока и отражает то обстоятельство, что в сверхкритическом режиме течения неоднородность скорости  $q$  связана не только с турбулизацией потока за счет внешнего воздействия, но и за счет внутренней неустойчивости сдвигового течения. Закон заглубления слоя определяется интенсивностью мелкомасштабного движения и задается в виде

$$(4) \quad dh/dt = Aq/Ri.$$

Рассматриваемая модель объединяет постулаты модели [3] с выводами [1]. Дело в том, что при отсутствии бокового трения для целого класса начальных профилей  $\rho^0(y)$  (включая двухслойную [2] и линейную стратификацию [3]) существуют особые решения системы уравнений сохранения массы, импульса, энергии и (4). Эти решения характеризуются свойством  $Ri_u = \text{const}$  и являются асимптотическим пределом при  $t \rightarrow \infty$  других решений рассматриваемой системы. При моделировании течений в канале конечной ширины учет трения на боковых границах приводит к перестройке асимптотического поведения решений.

Пусть при  $t = 0$  однородный слой имеет плотность  $\rho^+$ , скорость  $u^+$ , глубину  $h_0$ . Для простоты можно считать, что плавучесть  $b^0(y) = (\rho^- - \rho_0)g/\rho_0$  в нижнем слое распределена по степенному закону ( $v \equiv \text{const} > 0$ )

$$(5) \quad b^0(y) = b^- + v(-y)^\gamma, \quad y < -h_0.$$

Зависимость (5) охватывает два важных случая: двухслойную жидкость ( $v = 0$ ,  $b^- > b^+$ ) и линейную стратификацию ( $\gamma = 1$ ,  $h_0 = 0$ ).

Уравнения динамики однородного слоя в приближении Буссинеска ( $|\rho - \rho_0| \ll \rho_0$ ) получаются из уравнений сохранения импульса, энергии, массы, записанных в дивергентном виде, интегрированием по переменной  $y$  от 0 до некоторого значения  $y_0$ ,  $y_0 < -h(t)$ . При этом на границах  $y = 0$ ,  $y = y_0$  напряжения Рейнольдса и поток массы считаются заданными:

$$\tau^* = -\overline{u'v'}|_{y=0}, \quad \overline{\rho'v'}|_{y=0} = \overline{\rho'v'}|_{y=y_0} = \overline{u'v'}|_{y=y_0} = 0.$$

Здесь  $u'$ ,  $v'$ ,  $\rho'$  — пульсационные составляющие вектора скорости и плотности. Проинтегрированные уравнения движения имеют вид [5]

$$(6) \quad \begin{aligned} dhu/dt &= \tau^*, \\ \frac{d}{dt} \left( (1/2) u^2 h + [(1/2) q^2 h + \int_{y_0}^0 b y dy] \right) &= \tau^* u - \varepsilon h, \\ \frac{d}{dt} \left( \int_{y_0}^0 b dy \right) &= 0, \end{aligned}$$

где  $u(t)$  — средняя горизонтальная скорость;

$$q(t) = \left( \frac{1}{h} \int_{-h}^0 (u^2(t, y) + v^2(t, y) + w^2(t, y)) dy - u^2 \right)^{1/2}$$

характеризует неоднородность поля скорости, связанную с мелкомасштабным движением. Члены, включающие корреляции давления и скорости, а также средние от тройных произведений пульсационных составляющих скорости при  $y = 0$ , считаются малыми и в уравнении энергии опущены. Величина  $\varepsilon$  описывает диссиацию энергии. Так как  $q$  отражает неоднородность потока, обусловленную пульсационным движением всех масштабов, то, пренебрегая тепловой диссиацией энергии, можно положить  $\varepsilon = 0$ .

Уравнения (6) замыкаются законом вовлечения (4), имеющим простую интерпретацию: скорость увеличения потенциальной энергии  $V$  за счет перемешивания жидкости пропорциональна энергии вихрей, возникающих под действием поверхностного напряжения

$$(7) \quad dV/dt = (1/2)(b^0(-h) - b)h(dh/dt) = (1/2)A\tau^*q.$$

Соотношение (7) отличается от соответствующего выражения для скорости изменения потенциальной энергии, использованного в [3] для вывода закона (1), тем, что скорость вертикального переноса вихрей определяется не только скоростью трения  $u^*$ , а и среднеквадратичной скоростью пульсаций  $q$ , порожденных внутренней сдвиговой неустойчивостью.

С учетом (5) систему (4), (6) перепишем в виде

$$(8) \quad dh/dt = \sigma q, \quad hdh/dt = \tau^* - \sigma qu, \quad hqdq/dt = (\sigma q/2) (u^2 - q^2 - c^2),$$

где  $c^2 = (b^- - b^+) h_0 + (\nu/(\gamma + 1)) h_0^{\gamma+1} + (\gamma\nu/(\gamma + 1)) h^{\gamma+1}$ ;  $\sigma = A/Ri$ ;  $Ri = \tau^*/c^2$ . Плотность слоя  $\rho$  исключена из уравнений интегрированием закона сохранения массы. Величина  $q^2$ , характеризующая неоднородность поля скорости, складывается из энергии вихрей  $q_i^2$ , порожденных внутри потока, и кинетической энергии  $q_e^2$  вихрей, зародившихся на верхней границе. Значение  $q_e$  пропорционально  $u^*$ , т. е.  $q_e = au^*$ ,  $a = a(h)$ , причем  $a = a_0$ , если не учитывать рассеяние энергии вихрей с возрастанием глубины перемешанного слоя. Поэтому уравнение энергии описывает генерацию энергии «свободных вихрей»  $q_i^2$  в сдвиговом течении. Если же  $q_i$  обращается в 0 и производная  $dq/dt$  отрицательна, то приращение кинетической энергии за счет внутренней перестройки течения полностью компенсируется изменением потенциальной энергии и «свободных вихрей» в потоке нет. В этом случае уравнение энергии должно быть заменено соотношением  $q \equiv q_e$ . Так как величина  $q_e \ll q_i$  в сверхкритическом течении ( $dq/dt > 0$ ), то скорость заглубления однородного слоя существенно зависит от того, какой из режимов течения реализуется.

Рассмотрим отдельно двухслойную и непрерывную начальную стратификацию.

*Двухслойная модель.* Пусть  $v = 0$ . В этом случае  $c = \text{const}$ , причем если глубина канала  $H \rightarrow \infty$ , то  $c$  — скорость распространения длинных

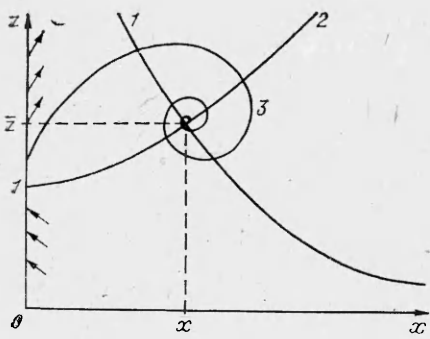


Рис. 2.

внутренних волн. На плоскости  $(x, z)$  ( $x = q/c, z = u/c$ ) траектории системы (8) совпадают с интегральными кривыми уравнения

$$(9) \quad dz/dx = [2(1 - Axz)]/[A(z^2 - x^2 - 1)].$$

Стационарные точки (9) находятся из пересечения кривых  $Axz = 1$  и  $z^2 = x^2 + 1$  (рис. 2, линии 1, 2 соответственно).

В области  $x > 0, z > 0$  существует единственная особая точка  $(\bar{x}, \bar{z})$

уравнения (9), являющаяся устойчивым фокусом. При  $\tau^* = \text{const}$  стационарная точка  $(\bar{x}, \bar{z})$  определяет равномерный закон заглубления

$$(10) \quad dh/dt = A\bar{q}/Ri, \quad u = \bar{u}, \quad q = \bar{q}$$

с  $Ri_u = \text{const}$ . Любая траектория из окрестности особого решения (10) стягивается к нему (рис. 2, кривая 3), т. е. течение с постоянным значением  $Ri_u = \text{const}$  реализуется при  $t \rightarrow \infty$ .

Если напряжение  $\tau^*$  приложено к покоящейся двухслойной жидкости ( $u^0 = 0, q^0 = 0$ ) при  $t = 0$ , то в решении задачи о заглублении однородного слоя можно выделить три фазы: разгон верхнего слоя с  $q = q_e$ ,  $u^2 < q^2 + c^2$ , немонотонное нарастание скорости и выход на асимптотический режим равномерного заглубления. Особый интерес вызывает средняя фаза движения, показывающая, что даже в отсутствие эффектов бокового трения скорость в верхнем слое изменяется немонотонно. Из рис. 2 видно, что асимптотически реализуется течение с  $Ri_u < 1$ , причем величина  $Ri_u|_{t \rightarrow \infty} \rightarrow Ri_{\bar{u}}$  слабо зависит от выбора постоянной  $A$  при  $1 \leq A < \infty$ . Действительно,

$$(11) \quad Ri_{\bar{u}} = 2/\sqrt{1 + 4A^{-2}}.$$

При  $A = 1$   $Ri_{\bar{u}} = 2/(1 + \sqrt{5}) \approx 0,618$ , что согласуется с выбором этого значения по экспериментальным данным в [1]. Ниже показано, что значение  $A = 1$  соответствует экспериментальным результатам и для случая линейной начальной стратификации.

*Линейная стратификация.* Пусть  $\gamma = 1, h_0 = 0$ , т. е.  $c^2 = c^2(h) = (1/2)\nu h^2$ ,  $Ri = \tau^*/c^2$ ,  $\sigma = A Ri^{-1}$ . Система (8) однородна и сводится к автономной системе. На плоскости  $(x, z)$  ( $x = q/c, z = u/c$ ) траектории системы (8) совпадают с интегральными кривыми уравнения

$$(12) \quad dz/dx = [2(1 - 2Axz)]/[A(z^2 - 3x^2 - 1)].$$

Особая точка уравнения (12) определяется пересечением кривых  $2Axz = 1$  и  $z^2 = 3x^2 + 1$ . Так же как и для двухслойной стратификации, в области  $x > 0, z > 0$  существует единственная стационарная точка  $(\bar{x}, \bar{z})$ , являющаяся устойчивым фокусом. Стационарная точка определяет особое решение системы (8)

$$(13) \quad h = \bar{h}t^{1/2}, \quad u = \bar{u}t^{1/2}, \quad q = \bar{q}t^{1/2},$$

где  $\bar{h} = (\sqrt{2}\tau^*/\sqrt{\nu})^{1/2}$ ;  $\bar{c} = \sqrt{\nu/2}\bar{h}$ . Решение (13) — точное решение задачи о заглублении однородного верхнего слоя ( $\tau^* = \text{const}$ ) в первоначально покоящейся ( $u^0 = 0, q^0 = 0$ ) линейно-стратифицированной жидкости; оно характеризуется соотношением

$$Ri_u = c^2/u^2 = \text{const}.$$

Таким образом, течение, реализованное в [3], описывается особым решением (13). На рис. 3 нанесены экспериментальные данные по зависимости

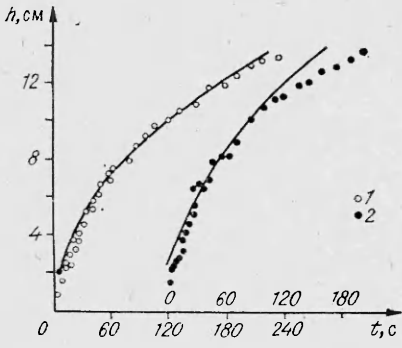


Рис. 3.

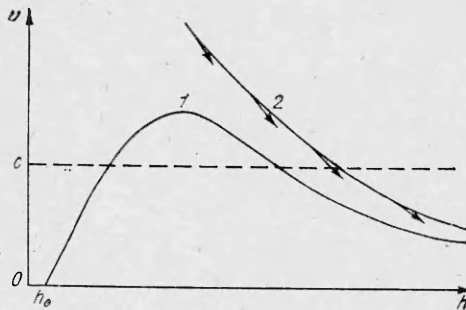


Рис. 4.

толщины однородного слоя от времени, полученные в [3] для  $v = 1,98 \text{ см}^{-2}$ ,  $\tau^* = 0,995 \text{ см}^2/\text{с}^2$  (точки 1) и  $v = 3,84 \text{ см}^{-2}$ ,  $\tau^* = 2,12 \text{ см}^2/\text{с}^2$  (точки 2). Сплошные линии соответствуют точному решению (13). На участках, где влиянием трения на боковых границах лотка можно пренебречь, экспериментальная зависимость описывается решением (13).

Влияние постоянной  $A$  на особое решение (13), как и в случае двухслойной жидкости ( $v = 0$ ), несущественно при  $1 \leq A < \infty$ . На этом решении величина  $Ri_u$  выражается через  $A$  следующим образом:

$$Ri_u = 2 / (\sqrt{1 + 3A^{-2}} + 1).$$

При  $A = 1$   $Ri_u = 2/3$ , т. е. незначительно отличается от предельного значения  $Ri_u \approx 0,618$  для  $v = 0$ . Зависимость от  $A$  функции  $h = h(t)$  в (13) выражена еще более слабо, так как

$$h = [(2/v)Ri_u]^{1/4}(\tau^*t)^{1/2}$$

и  $2/3 \leq Ri_u < 1$  при  $1 \leq A < \infty$ . Поэтому система (8) со значением  $A = 1$  удовлетворительно описывает заглубление однородного слоя как в линейной, так и в двухслойной начальной стратификации.

*Замечание.* Непрерывная начальная стратификация ( $h_0 = 0$ ) с произвольной степенной зависимостью (5) плотности от глубины рассматривается аналогично. При этом система (8) сводится к автономной системе на плоскости  $(x, z)$ , где  $x = q/c$ ,  $z = u/c$ , и на особом решении уравнений (8)  $Ri_u = \text{const}$ .

Для канала конечной ширины необходимо учитывать трение на боковых стенках. Система (8) в этом случае описывает эволюцию однородного слоя, если поверхностное напряжение  $\tau^*$  заменить «эффективным» напряжением  $\tau = \tau^* - \tau_w$ , где  $\tau_w = c_w h u^2 L^{-1}$ ,  $c_w$  — коэффициент трения,  $L$  — ширина канала [1].

Пусть  $c_w = \text{const} \neq 0$ . Асимптотические свойства решений (8), выведенные выше, уже не справедливы, так как с ростом  $h$  и  $u$  величина  $\tau_{\text{eff}}$  становится сравнимой с  $\tau^*$ . Для исследования поведения траекторий (8) удобно рассмотреть их проекцию на плоскость  $(h, u)$ . Любая траектория  $h = h(t)$ ,  $u = u(t)$  (рис. 4, кривая 1) не может пересечь линию  $\tau = \tau^* - c_w L^{-1} h u^2 = 0$  (кривая 2), так как траектории системы (8) выходят с этой кривой в область  $\tau > 0$ . Поэтому при  $t \rightarrow \infty$   $u(t) \rightarrow 0$  и решение обязательно станет докритическим ( $u^2 < q_e + c^2$ ), что приведет к существенному изменению скорости заглубления слоя.

При проведении двухслойных экспериментов в круговом лотке [2] влияние бокового трения выражено гораздо сильнее, чем в экспериментах [3] (см. рис. 3). Если при  $Ri \leq 100$  в [2] реализовывались фазы разгона верхнего слоя и выхода на сверхкритический режим заглубления, то при  $Ri \geq 500$  течение все время оставалось докритическим, что привело к резкому снижению скорости заглубления однородного слоя. Гипотеза о том, что в докритическом течении  $q = q_e = a_0 u^*$ , больше соответствует

плоскоапараллельному случаю. В кольцевом же лотке неоднородность поля скорости связана не только с турбулизацией жидкости движущимся экраном, но и наличием развитого радиального движения [7]. Поэтому для правильного описания докритического течения в кольцевом лотке необходима более подробная информация о структуре потока. В сверхкритическом случае геометрия течения менее существенна, так как неоднородность потока, обусловленная генерацией крупных вихрей в слое сдвига, доминирует над неоднородностями другого происхождения.

Гипотеза об однородности по вертикали профилей средней скорости и плотности в верхнем слое — достаточно грубое приближение. В действительности хорошо перемешанный слой отделен от покоящейся жидкости прослойкой, толщина которой может составить значительную часть верхнего слоя. Тем не менее рассмотренная выше модель дает не только качественное, но и количественное совпадение с результатами наблюдений. Этот факт, по-видимому, можно объяснить тем, что переходный слой динамически нейтрален, т. е. в этом слое выделившаяся за счет перестройки потока кинетическая энергия пульсационного движения расходуется на преодоление сил плавучести. Поэтому величина  $q^2$  в (8) представляет разность кинетической и потенциальной энергий течения, обусловленных неоднородностью потока, т. е. «свободную» энергию вихрей, не компенсированную возрастанием плавучести. Таким образом, уравнения (8) формально описывают эволюцию верхнего слоя с учетом переходной зоны, если только под величиной  $h$  понимать расстояние от поверхности жидкости до середины прослойки. Учет диссиляции, параметризованной выражением вида  $\varepsilon = kq^3h^{-1}$ , не приводит к качественному изменению поведения решений системы (8).

#### ЛИТЕРАТУРА

1. Price J. F. On the scaling of stress-driven entrainment experiments.— *J. Fluid Mech.*, 1979, v. 90, N 3.
2. Kantha L. H., Phillips O. M., Azad R. S. On turbulent entrainment at a stable density interface.— *J. Fluid Mech.*, 1977, v. 79, N 4.
3. Kato H., Phillips O. M. On the penetration of a turbulent layer into a stratified fluid.— *J. Fluid Mech.*, 1969, v. 37, N 4.
4. Mellor G. L., Durbin P. A. The structure and dynamics of the ocean surface mixed layer.— *J. Phys. Oceanogr.*, 1975, v. 5, N 4.
5. Китайгородский С. А. Динамика верхнего термоклина в океане.— Итоги науки и техники, 1977, т. 4.
6. Ниилер П. П., Краус Э. Б. Одномерные модели верхнего слоя океана.— В кн.: Моделирование и прогноз верхних слоев океана/Под ред. Э. Б. Крауса. Л.: Гидрометеоиздат, 1979.
7. Deardorff J. W., Willis G. E. Dependence of mixed-layer entrainment on shear stress and velocity jump.— *J. Fluid Mech.*, 1982, v. 115.

Поступила 28/XII 1984 г.

УДК 532.22 + 532.61 + 539.23

#### МОДЕЛИРОВАНИЕ РАВНОВЕСНЫХ ФОРМ КАПЕЛЬ ЖИДКОСТИ ПРИ ГРАФОЭПИТАКСИИ ИЗ РАСТВОРОВ

Ю. В. Апанович, В. И. Клыков

(Рига)

Первый удачный эксперимент по графоэпитаксии — рост из раствора [1]. Впоследствии основное число работ оказалось сосредоточенным на получении пленок полупроводников, в основном кремния. Графоэпитаксия из растворов отошла на второй план, хотя она обладает рядом несомненных достоинств:

— является удобным модельным объектом: исследуя рост из низкотемпературных растворов, можно судить о процессах в высокотемпературных растворах в расплаве, непосредственное наблюдение за которыми затруднено;

— имеет прикладное значение, поскольку ряд важных материалов может быть выращен этим методом в контролируемых условиях;